

2. Амбарцумянц Р.В. Структурный синтез плоских рычажных механизмов с помощью графов. // Сб. теория механизмов и машин. – Харьков, – № 30, – 1981, – С. 13–21.
3. Амбарцумянц Р.В. Некоторые вопросы проектирования плоских рычажных генераторов функций. // М.: Механика машин, – Вып. 60, 1983, – С. 45–56.
4. Артоболевский И.И., Левитский Н.И., Черкудинов С.А.. Синтез плоских механизмов. – М: Изд. физ-мат. лит. – 1959. – 1084 с.

УДК 621.001.66(035)

КРИТЕРИИ РАБОТОСПОСОБНОСТИ РЫЧАЖНОГО ПРЕОБРАЗОВАТЕЛЯ УСИЛИЙ ЦЕНТРОБЕЖНЫХ ФРИКЦИОННЫХ МУФТ

Амбарцумянц Р.В., д-р техн. наук, профессор, Дели И.И., аспирант
Одесская национальная академия пищевых технологий, г. Одесса

Установлено, что критерием работоспособности является предельное значение угла между рычагами преобразующего механизма, а также получено выражение для его определения.

Found that the criterion of efficiency is the limiting value of the angle between the arms transformation-forming mechanism, and an expression for its definition.

Ключевые слова: муфта, фрикционный, угол, заклинивание, сила, момент, механизм.

Центробежные фрикционные муфты нашли широкое применение в машинах с большим инерционным моментом [1]. Тем не менее, к настоящему времени в технической литературе почти отсутствуют методы их расчета и проектирования. Среди центробежных фрикционных муфт особое место занимают муфты с рычажным преобразователем усилий. В работе [2] авторами предложены методы расчета такой муфты. На рис. 1 представлена принципиальная расчетная схема такой муфты, где 1 – ведущий вал; 2 – прижимные диски, образующие поступательную пару с ведущим валом; 4 – грузик, создающий центробежную силу инерции; 5,6 – рычаги одинаковой длины, образующие подвижные соединения с грузком 4 и прижимными дисками 2; 7 – пружины растяжения, необходимые для возвращения груза 4 в исходное положение после остановки ведущего вала 1; 8 – ведомая полумуфта, жестко соединенная с ведомым валом (на схеме не показан).

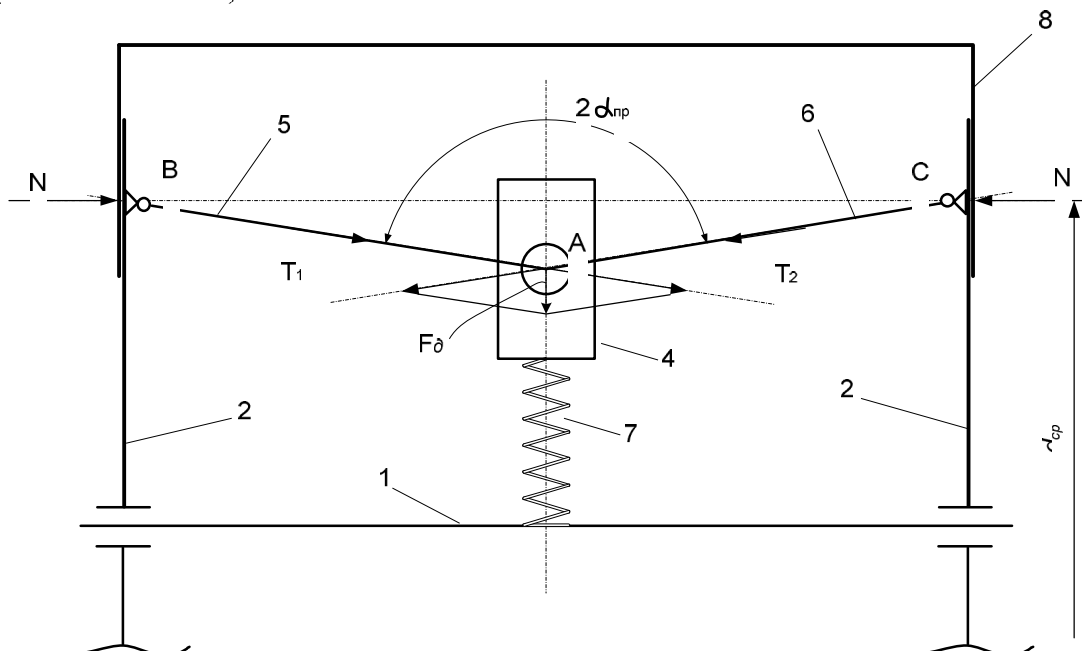


Рис. 1 – Расчетная схема центробежной фрикционной муфты с преобразователем усилий в продольном положении

В предложенной методике расчета [2] предполагалось известным предельное значение угла α между рычагами 5,6. Однако из анализа работы рычажного преобразователя рассматриваемой муфты следует, что чем ближе угол 2α между рычагами 5 и 6 к 180° , тем больше коэффициент трансформации усилий между прижимными дисками 2 и ведомой полумуфтой 8, что приводит к уменьшению времени разгона ведомой полумуфты. Однако, если $2\alpha \approx 180^\circ$ возможно заклинивание рычажного преобразователя усилий. Если принимать во внимание, что при больших усилиях по шатунам AB , AC они могут деформироваться, кроме того в шарнирах B и A зазоры неизбежны, то центр шарнира A может переходить за линию BC и при остановке ведущего вала груз 4 не может возвращаться в исходное положение следовательно муфта становится не работоспособной. Это говорит о том, что необходимо выполнение неравенства:

$$\alpha \leq \alpha_{np}. \quad (1)$$

Предположим, что при $\alpha = \alpha_{np}$ возможно заклинивание. Принимаем во внимание, что рычаги преобразующего механизма равномерно распределены по внутреннему периметру ведомой полумуфты, перемещение прижимных дисков относительно ведущего вала исключено, силы трения в прижимных дисках возникают в соединениях с ведущим валом 1 и торцами ведомой полумуфты 8.

Рассмотрим случай, когда ведущий вал остановлен, но груз 4 не возвращается в исходную позицию. Следовательно, сила N прижима между дисками 2 и полумуфтой 8 присутствует. В таком случае в шарнирах B и C возникают усилия

$$T_1 = T_2 = \frac{N}{\sin \alpha_{np}}. \quad (2)$$

Векторная сумма

$$\overline{F}_{np} + \overline{T}_1 + \overline{T}_2 = \overline{F}_\partial \quad (3)$$

является той силой, которая пытается вернуть груз в исходное положение. Усилие F_∂ должно преодолевать момент сопротивления, возникающий в виде момента трения в шарнирном соединении шатун-груз. В виду ограниченности размеров груза 4 в указанном соединении можно использовать или игольчатые подшипники или подшипники скольжения. Предположим, в соединении использован подшипник скольжения с радиусом пальца r . Значение радиуса пальца легко определить по усилию T_1 или T_2 , принимаем во внимание, что палец работает на деформацию среза. На рис. 2 представлена принципиальная схема такого соединения.

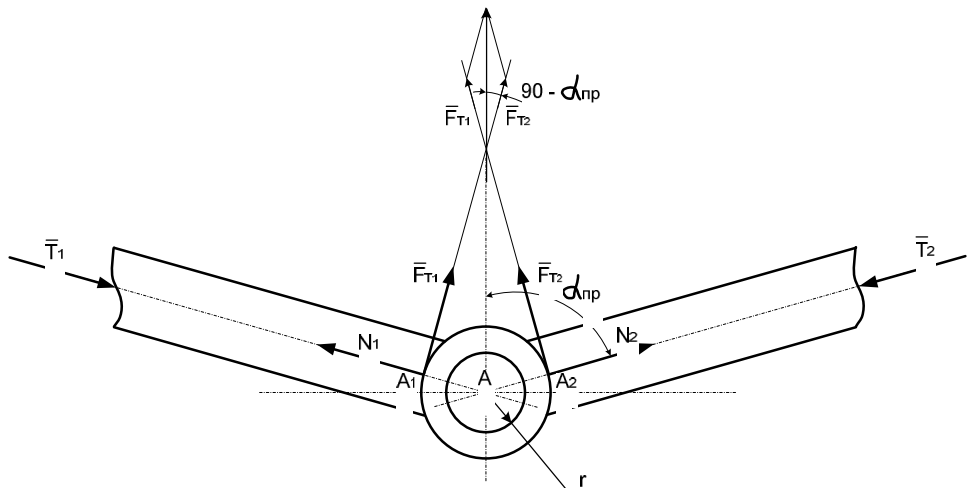


Рис. 2 – Расчетная схема соединения шатун-палец

Учитывая симметричность преобразующего механизма относительно оси, перпендикулярной продольной оси ведущего вала в точках касания A_1, A_2 по осевой линии шатунов 5 и 6 возникают нормальные усилия $N_1 = N_2 = T_1 = T_2$. Из векторного уравнения (3) следует (см. рис. 1)

$$F_\partial = 2T_1 \cos_{np} + F_{np}, \quad (4)$$

где $T_1 = \frac{N_1}{\sin \alpha_{np}}$; $F_{np} = c \cdot S_{max}$ – усилие пружины растяжения 7.

Здесь c – жесткость пружины,

S_{max} – максимальное перемещение грузика 4.

Если M_{pab} – вращающий момент на ведомой полумуфте, то его значение

$$M_{pab} = z \cdot F_{mp} \cdot d_{cp}, \quad (5)$$

где z – число грузиков, d_{cp} – средний диаметр ведомой полумуфты.

Из (5) находим

$$F_{mp} = \frac{M_{pab}}{f_n \cdot z \cdot d_{cp}} = f_o \cdot M.$$

Отсюда для усилия между прижимными дисками и торцами ведомой полумуфты

$$N = \frac{M_{pab}}{f_n \cdot z \cdot d_{cp}}, \quad (6)$$

где f_o – коэффициент трения между прижимными дисками и внутренними торцами ведомой полумуфты.

Для усилий, действующих вдоль продольных осей шарниров из (2) находим

$$T_1 = T_2 = \frac{M_{pab}}{f_n \cdot z \cdot d_{cp} \cdot \sin \alpha_{np}}. \quad (7)$$

Из (4) с учетом (7), получим

$$F_o = 2T_1 \cos \alpha_{np} + c \cdot S_{max}, \text{ или}$$

$$F_o = F_{np} + \frac{2M_{pab} \cos \alpha_{np}}{f_n \cdot z \cdot d_{cp} \cdot \sin \alpha_{np}} = \frac{2M_{pab}}{f_n \cdot z \cdot d_{cp}} \operatorname{ctg} \alpha_{np} + c \cdot S_{max}, \quad (8)$$

Согласно расчетной схеме (см. рис. 2) в точках касания A_1 , A_2 возникают силы трения $F_{T1} = F_{T2} = T_1 f_n = T_2 f_n$, которые не позволяют грузику под действием пружины 7 приближаться к оси ведущего вала. Поскольку точки A_1 , A_2 симметрично расположены относительно прямой, перпендикулярной продольной оси вала 1, то осевое усилие

$$F_T = 2F_{T1} \cos(90 - \alpha_{np}) = 2F_{T1} \sin \alpha_{np} = 2T_1 f_n \sin \alpha_{np}, \quad (9)$$

где f_n – коэффициент трения между шарниром и пальцем.

Для исключения заклинивания внутри ведомой полумуфты необходимо обеспечить неравенство

$$F_o \geq F_T + (F_T)_{n\delta}, \quad (10)$$

где $(F_T)_{n\delta} = 2Gf_1$ – сила трения между прижимными дисками и ведущим валом,

G – сила тяжести прижимных дисков,

f_1 – коэффициент трения между валом 1 и прижимными дисками.

Учитывая (8) и (9) на основании (10) запишем

$$\begin{aligned} \frac{2M_{pab}}{z f_o d_{cp}} &= \operatorname{ctg} \alpha_{np} + c \cdot S_{max} \geq \frac{2M_{pab} f_n \sin \alpha_{np}}{z f_n d_{cp} \sin \alpha_{np}} + 2Gf_1, \quad \text{или} \\ \frac{2M_{pab}}{z f_o d_{cp}} &= \operatorname{ctg} \alpha_{np} + c \cdot S_{max} \geq \frac{2M_{pab}}{z d_{cp}} + 2Gf_1, \end{aligned} \quad (11)$$

Рассмотрим предельный случай для определения угла α_{np} .

Имеем $\frac{2M_{pa\delta}}{zf_\delta d_{cp}} = ctg\alpha_{np} - \frac{2M_{pa\delta}}{zd_{cp}} \geq 2Gf_1 - cS_{max}$, или

$$\frac{2M_{pa\delta}}{zd_{cp}} \left(\frac{1}{f_\delta} ctg\alpha_{np} - 1 \right) = 2Gf_1 - cS_{max}. \text{ Отсюда}$$

$$\frac{1}{f_\delta} ctg\alpha_{np} - 1 = \frac{2Gf_1 - cS_{max}}{2M_{pa\delta}}, \text{ или}$$

$$\frac{1}{f_\delta} ctg\alpha_{np} = \frac{(2Gf_1 - cS_{max})}{2M_{pa\delta}} + 1, \text{ или } ctg\alpha_{np} = \frac{f_\delta(2Gf_1 - cS_{max})}{2M_{pa\delta}} + f_\delta. \quad (12)$$

Например, если заданы $G = 20H$, $c = 0.2H/mm$, $S_{max} = 30mm$, $z = 2$, $M_{pa\delta} = 70Nm$, $d_{cp} = 0.2m$, $f_\delta = 0.3$, $f_1 = 0.1$ получим:

$$ctg\alpha_{np} = 0.3 + \frac{0.3(2 \cdot 20 \cdot 0.1 - 0.2 \cdot 30)}{2 \cdot 70} = 0,2957,$$

$$tg\alpha_{np} = \frac{1}{0.2957} = 3.3818, \quad \alpha_{np} = 73^{\circ}30', \quad 2\alpha_{np} = 147^{\circ}.$$

Из анализа зависимости (12) следует:

1. Чем больше жесткость пружины f_1 , тем больше значение α_{np} .

2. Предельное значение угла α_{np} существенно зависит от коэффициента трения f_δ , причем при меньшей жесткости пружины c значение этого угла можно определить по выражению

$$\alpha_{np} = arctg \frac{1}{f_\delta}. \quad (13)$$

3. Если значение $ctg\alpha_{np}$ отрицательно, это означает, что в принципе заклинивание невозможно даже при угле $\alpha_n = 90^{\circ}$.

4. Если принимать равенство $2Gf_1 = cS_{max}$ или $c = \frac{2Gf_1}{S_{max}}$, то значение угла α_{np} можно определить по выражению (13).

Література

- Патент на корисну модель № 63940. МПК F16D 13/00. Відцентрова фрикційна муфта / Амбарцумянц Р.В., Делі І.І.; Одеська національна академія харчових технологій. – Опубл. 25.10.2011, Бюл. № 20.
- Амбарцумянц Р.В. Расчет основных геометрических размеров центробежной фрикционной муфты с преобразователем усилий / Р.В. Амбарцумянц, И.И. Дели // Вісник Хмельницького національного університету. – Технічні науки. – 2012. – № 6. – С. 25-28.